

第二章 座標系統與地位模式

2-1 座標介紹

下面簡單介紹幾種在本論文研究中用到的座標系統。

2-1-1 天球固定座標系

天球座標是根據牛頓力學所架構出的座標系統。由於我們要描述的是衛星與地球間的相對運動，所以座標原點為地心，且因歲差(Pression)及章動(Nutation)的影響，天球座標有平天球（僅考慮歲差影響）及真天球座標（考慮歲差及章動二者影響）之分。



座標軸在空間的指向是隨時間而變，為了建立一個統一的標準，必須選定某一時刻 t_0 稱為標準曆元，以此平天球座標系做為參考座標的標準，稱為標準曆元 t_0 的平天球座標系，或天球固定座標系，或傳統慣性座標（Conventional Inertial System, CIS）(Seeber, 1993)。

本論文中所指之傳統慣性座標系皆為 J2000（即西元 2000 年 1 月 1.5 日）標準曆元的平天球固定座標系。其三軸各定義為（圖 2-1）：

Z 軸：指向 J2000 的平均地球自轉軸方向

X 軸：從地心指向 J2000 的平春分點方向。

Y 軸：與 Z、X 軸垂直，並與 Z、X 軸成一右旋系統。 $Y=Z \times X$

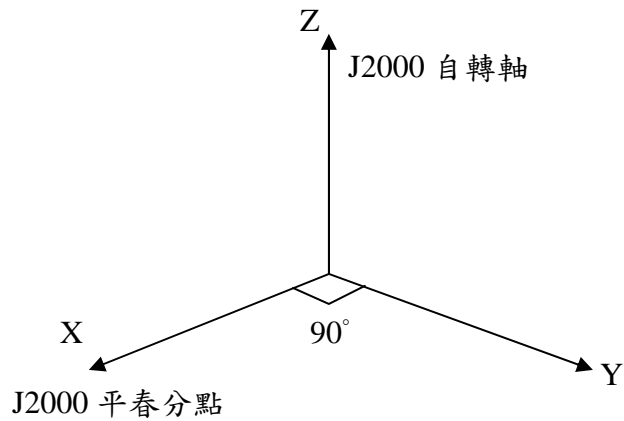


圖 2-1 傳統慣性座標系簡單示意圖

2-1-2 地球固定座標系

地球固定座標亦稱為平均地球座標 (Average Terrestrial System, AT) 或稱為傳統地球座標系 (Conventional Terrestrial System, CTS)。以地球質量中心為原點，其三軸各定義為 (圖 2-2)：

Z 軸：從地心指向 CTP(Conventional Terrestrial Pole)方向。

X 軸：從地心指向地球赤道與格林威治子午圈 (零子午圈) 交點。

Y 軸：與 Z、X 軸垂直，並與 Z、X 軸成一右旋系統。 $Y=Z \times X$

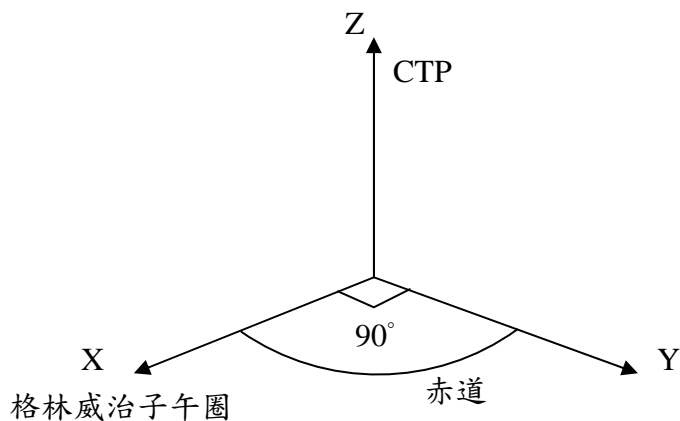


圖 2-2 地固座標系簡單示意圖

2-1-3 衛星旋轉座標系 (Rotation Coordinate System)

衛星位置經軌道計算後為了表示其改正量，除了採用慣性直角座標系之 (X,Y,Z) 來表示外，還可採用衛星軌道座標系將改正量分為沿半徑方向 (徑向，Radial)、沿軌道面切線方向 (Transverse, Along-track)、軌道面法線方向 (Normal, Cross-track) 等分量表示 (圖 3-3)。圖中， u 為緯度角距 (argument of latitude)， $u = \omega + f$ ； i 為軌道面傾角 (inclination)； Ω 為昇交點赤經 (right ascension of ascending node)。

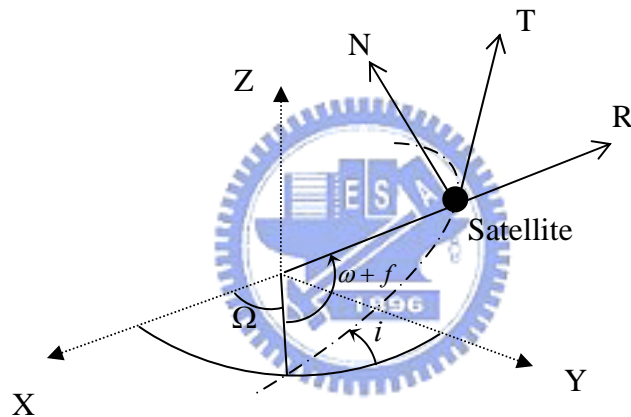


圖 2-3 衛星旋轉座標系簡單示意圖

2-1-4 衛星固定座標系 (Satellite-Fixed Coordinate System)

這個座標系統主要是針對衛星本體的受力姿態而有所定義，可以使用在太陽阻力、太陽輻射壓等與衛星本體受力表面比例相關的擾動力上。

X_v 軸：指向飛行方向

Z_v 軸：指向地心

Y_v 軸：根據右手旋轉定律，分別與 X_v 、 Z_v 軸垂直

其繞軸旋轉姿態角可定義為：

φ (roll)：繞 X_V 軸旋轉的姿態角

δ (pitch)：繞 Y_V 軸旋轉的姿態角

α (yaw)：繞 Z_V 軸旋轉的姿態角

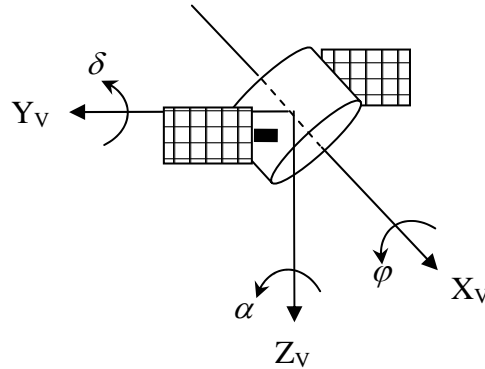


圖 2-4 衛星固定座標系簡單示意圖



2-2 座標轉換

在進行衛星運動計算時，所有的計算與結果的比較都必須歸化到相同座標系統中。下面針對幾種常用的座標轉換進行介紹。

2-2-1 慣性座標與地固座標之轉換

在進行慣性座標與地固座標轉換前，先對旋轉矩陣略做描述。而三軸之旋轉矩陣如下：

$$(1) \text{ 繞 } X \text{ 軸旋轉} \quad : \quad \mathbf{R}_1(\alpha) = \begin{bmatrix} 1 & 0 & 0 \\ 0 & \cos \alpha & \sin \alpha \\ 0 & -\sin \alpha & \cos \alpha \end{bmatrix} \quad (2-1)$$

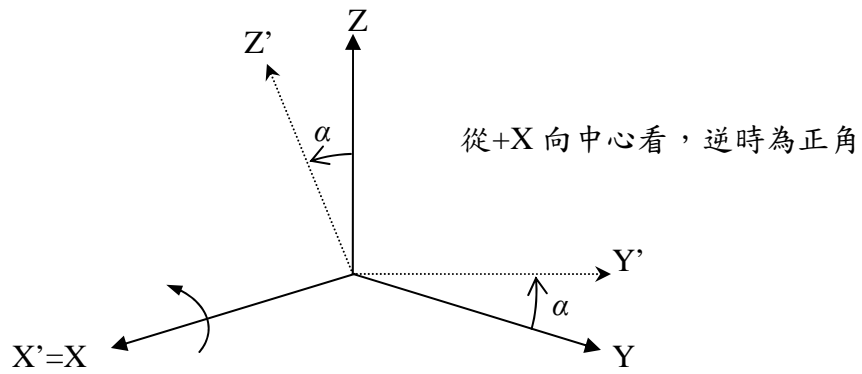


圖 2-5 座標轉換繞 X 軸旋轉部分

(2) 繞 Y 軸旋轉 :
$$\mathbf{R}_2(\alpha) = \begin{bmatrix} \cos \alpha & 0 & -\sin \alpha \\ 0 & 1 & 0 \\ \sin \alpha & 0 & \cos \alpha \end{bmatrix} \quad (2-2)$$

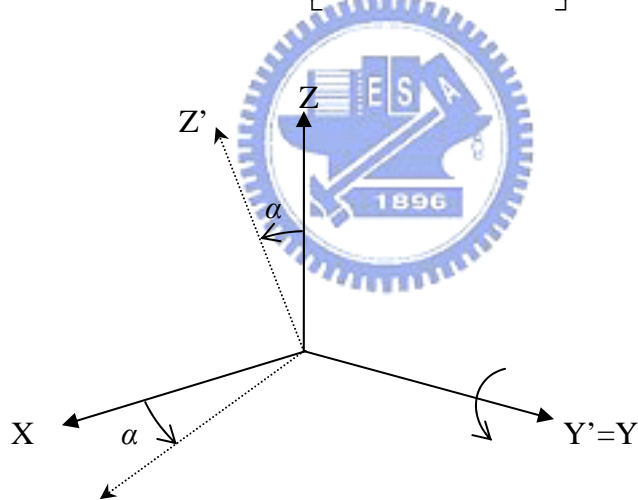


圖 2-6 座標轉換繞 Y 軸旋轉部分

(3) 繞 Z 軸旋轉 :
$$\mathbf{R}_3(\alpha) = \begin{bmatrix} \cos \alpha & \sin \alpha & 0 \\ -\sin \alpha & \cos \alpha & 0 \\ 0 & 0 & 1 \end{bmatrix} \quad (2-3)$$

而自慣性座標(CIS)到地心固定座標(CTS)之間的轉換關係為：

$$\mathbf{r}_{\text{CTS}} = \mathbf{SNPr}_{\text{CIS}} \quad (2-4)$$

其中，**P**：歲差 (Precession) 轉換矩陣。將 J2000 平天球固定座標系轉至另一時刻之平天球座標系，也就是將 J2000 的平春分點轉至計算時刻 t 的平春分點。 $\mathbf{P} = \mathbf{R}_3(-Z)\mathbf{R}_2(\theta)\mathbf{R}_3(-\zeta)$ (2-5)

N：章動 (Nutation) 轉換矩陣。將瞬時平天球固定座標系轉至瞬時真天球座標系，也就是將計算時刻 t 的平春分點轉至計算時刻 t 的真春分點。

$$\mathbf{N} = \mathbf{R}_1(-\varepsilon - \Delta\varepsilon)\mathbf{R}_3(-\Delta\psi)\mathbf{R}_1(\varepsilon) \quad (2-6)$$

S：極移及地球自轉 (Polar motion & Earth Rotation) 轉換矩陣。極移改正的目的是因為考慮瞬時極位置與 CIO 之差異，此差異可用兩個角度量 (x_p, y_p) 來表示。地球自轉改正是將某特定星曆時刻之真座標系統，轉換為同一時刻下的瞬間地球座標。

$$\mathbf{S} = \mathbf{R}_2(-x_p)\mathbf{R}_1(-y_p)\mathbf{R}_3(GAST) \quad (2-7)$$

式中， Z, θ, ζ 為歲差參數

$$\zeta = 0^\circ.640616T + 0^\circ.0000839T^2 + 0^\circ.0000050T^3$$

$\Delta\varepsilon$ 為章動之傾角分量

$\Delta\psi$ 為章動之經度分量

ε 為黃赤交角

$GAST$ ：格林威治視恆星時。

其中， T 為從標準曆元 t_0 至時間 t 的儒略日世紀數。 $T = (JD - 2451545.0)/36525.0$

JD 為地球動力時 (Terrestrial Dynamical Time, TDT) 系統下之儒略日

我們可以知道，在進行座標轉換時，物體在空間中的位置不變，只是描述它的座標系統改變，如圖 2-7。

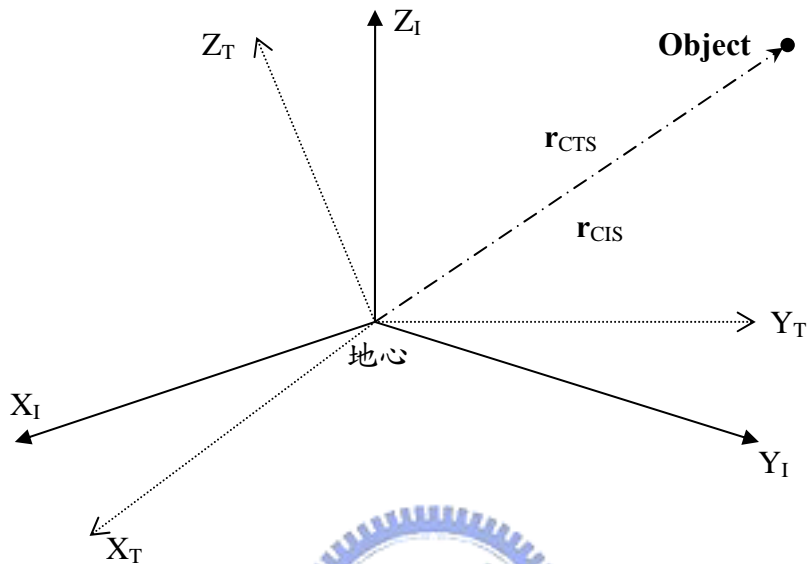


圖 2-7 慣性座標與地固座標轉換示意圖

2-2-2 衛星旋轉座標與慣性直角座標之轉換

我們可以將衛星旋轉座標轉換到慣性直角座標的關係表達成為，

$$\begin{bmatrix} r \\ t \\ n \end{bmatrix} = \mathbf{R}_3(u)\mathbf{R}_1(i)\mathbf{R}_3(\Omega) \begin{bmatrix} x \\ y \\ z \end{bmatrix} \quad (2-8)$$

其中， $u = \omega + f$ ：緯度角距（argument of latitude）

i ：軌道面傾角（inclination）

Ω ：昇交點赤經（right ascension of ascending node）

將 (2-8) 式重新定義為：

$$\begin{bmatrix} r \\ t \\ n \end{bmatrix} = \begin{bmatrix} r_{11} & r_{12} & r_{13} \\ r_{21} & r_{22} & r_{23} \\ r_{31} & r_{32} & r_{33} \end{bmatrix} \begin{bmatrix} x \\ y \\ z \end{bmatrix} = \mathbf{R} \begin{bmatrix} x \\ y \\ z \end{bmatrix} \quad (2-9)$$

其中 \mathbf{R} 矩陣各元素如下：

$$\begin{aligned} r_{11} &= \cos u \times \cos \Omega - \sin u \times \cos i \times \sin \Omega \\ r_{12} &= \cos u \times \sin \Omega + \sin u \times \cos i \times \cos \Omega \\ r_{13} &= \sin u \times \sin i \\ r_{21} &= -\sin u \times \cos \Omega - \cos u \times \cos i \times \sin \Omega \\ r_{22} &= -\sin u \times \sin \Omega + \cos u \times \cos i \times \cos \Omega \\ r_{23} &= \cos u \times \sin i \\ r_{31} &= \sin i \times \sin \Omega \\ r_{32} &= -\sin i \times \cos \Omega \\ r_{33} &= \cos i \end{aligned} \quad (2-10)$$

而與 (2-8) 式相反的逆轉換，也就是慣性直角座標轉換到衛星旋轉座標，因為 \mathbf{R} 矩陣為一正交矩陣，故 $\mathbf{R}^{-1} = \mathbf{R}^T$ ，所以轉換關係表示為：

$$\begin{bmatrix} x \\ y \\ z \end{bmatrix} = \mathbf{R}^{-1} \begin{bmatrix} r \\ t \\ n \end{bmatrix} = \mathbf{R}^T \begin{bmatrix} r \\ t \\ n \end{bmatrix} \quad (2-11)$$

2-2-3 慣性座標與衛星固定座標之轉換

衛星固定座標轉換到慣性座標系的關係可以表達為：

$$\begin{aligned} \boldsymbol{\zeta} &= \mathbf{R}_1(\varphi_V) \mathbf{R}_2(-\delta_V) \mathbf{R}_3(\alpha_V)^T \boldsymbol{\zeta}_V \\ &= \mathbf{Q} \boldsymbol{\zeta}_V \end{aligned} \quad (2-12)$$

其中 $\boldsymbol{\zeta}$ ：慣性座標系座標值

$\boldsymbol{\zeta}_V$ ：衛星固定座標系座標值

$$\mathbf{Q} = \begin{bmatrix} q_{11} & q_{12} & q_{13} \\ q_{21} & q_{22} & q_{23} \\ q_{31} & q_{32} & q_{33} \end{bmatrix} \text{。由衛星固定座標系轉換至慣性座標之旋轉矩陣，其各項}$$

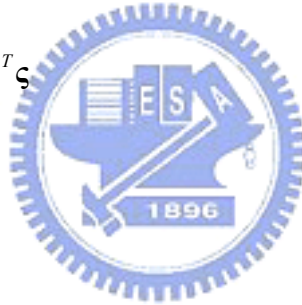
元素定義如下：

$$\begin{aligned}q_{11} &= \cos \delta_V \times \cos \alpha_V \\q_{12} &= -\sin \varphi_V \times \sin \delta_V \times \cos \alpha_V - \cos \varphi_V \times \sin \alpha_V \\q_{13} &= -\cos \varphi_V \times \sin \delta_V \times \cos \alpha_V + \sin \varphi_V \times \sin \alpha_V \\q_{21} &= \cos \delta_V \times \sin \alpha_V \\q_{22} &= -\sin \varphi_V \times \sin \delta_V \times \sin \alpha_V + \cos \varphi_V \times \sin \alpha_V \\q_{23} &= -\cos \varphi_V \times \sin \delta_V \times \sin \alpha_V - \sin \varphi_V \times \cos \alpha_V \\q_{31} &= \sin \delta_V \\q_{32} &= \sin \varphi_V \times \cos \delta_V \\q_{33} &= \cos \varphi_V \times \cos \delta_V\end{aligned}\tag{2-13}$$

其中， φ_V 、 δ_V 、 α_V 之定義見圖 2-4。

因為 \mathbf{Q} 矩陣為正交矩陣，所以 $\mathbf{Q}^{-1} = \mathbf{Q}^T$ 。故慣性座標轉換到衛星固定座標的關係式為：

$$\boldsymbol{\zeta}_v = \mathbf{Q}^{-1} \boldsymbol{\zeta} = \mathbf{Q}^T \boldsymbol{\zeta}\tag{2-14}$$



2-3 地位模式

衛星重力測量計算的是一個全球重力場模型。地球重力場的引力位理論上它可以有多種形式的數學表達式，但最實用、最被廣泛接受的地位模式可以利用一組球諧係數表示為 (Heiskanen and Moritz, 1967)：

$$V(r, \phi, \lambda) = \frac{GM_e}{r} \left[1 + \sum_{n=2}^{N_{\max}} \left(\frac{R_e}{r} \right)^n \sum_{m=0}^n (\bar{C}_{nm} \cos m\lambda + \bar{S}_{nm} \sin m\lambda) \cdot \bar{P}_{nm}(\sin \phi) \right] \quad (2-15)$$

其中， r, ϕ, λ ：衛星在地固座標系之距離、地心緯度、地心經度

M_e, R_e ：地球質量及地球參考橢球長軸半徑

G ：牛頓萬有引力常數

N_{\max} ：球諧函數展開的最大階數

\bar{P}_{nm} ：完全正規化締和勒證德函數

$\bar{C}_{nm}, \bar{S}_{nm}$ ：完全正規化球諧係數



每一個重力場模型有一個相應的大地水準面，如果所有的 $(\bar{C}_{nm}, \bar{S}_{nm})$ 不存在，僅有主項'1'，則代表“球形地球”，如果再加 \bar{C}_{20} 則代表一個“旋轉橢球體”。又因其他 $(\bar{C}_{nm}, \bar{S}_{nm})$ 的存在，就反映了大地水準面與旋轉橢球體的差別。重力場模型亦可以用重力異常 (Δg)、大地起伏 (N) 等不同形式表達與比較。

$$\Delta g(\phi, \lambda) = \frac{GM_e}{a^2} \sum_{n=2}^{N_{\max}} (n-1) \sum_{m=0}^n (\bar{C}_{nm}^* \cos m\lambda + \bar{S}_{nm}^* \sin m\lambda) \cdot \bar{P}_{nm}(\sin \phi) \quad (2-16)$$

$$N(\phi, \lambda) = a \sum_{n=2}^{N_{\max}} \sum_{m=0}^n (\bar{C}_{nm}^* \cos m\lambda + \bar{S}_{nm}^* \sin m\lambda) \cdot \bar{P}_{nm}(\sin \phi) \quad (2-17)$$

其中， $\bar{C}_{nm}^* = \bar{C}_{nm} - \bar{C}_{nm}^{ref}$ ， $\bar{S}_{nm}^* = \bar{S}_{nm} - \bar{S}_{nm}^{ref}$

$\bar{C}_{nm}^{ref}, \bar{S}_{nm}^{ref}$ 為參考橢球體的完全正規化球諧係數

下面介紹在本論文中所選用的兩種地位模式及最新地位模式。

2-3-1 OSU91A 地位模式

OSU91A 是由 Rapp et al. (1991) 發展出來的大地位模式。首先結合 GEM-2 位能係數、地面重力法方程式和一年的 Geosat 測高資料，根據這些資料的結合可解得 50 階的大地位模式。在更新校正發展 OSU89 大地模式所使用之 30'×30' 平均異常資料後，與發展 OSU89B 的 360 階位能模式所使用的 30' 異常資料合併，再以 GEM-T2 大地位模式至第 9 階及地形均衡模式 10~360 階所計算之異常資料取代填入的異常資料。以最小二乘法得到平差後的 30' 平均異常資料，利用球諧函數的正交性質以平均異常資料計算球諧係數，最後可得 360 階的大地位係數。將之前所得 2~50 階的地位係數加上 30' 異常資料所得之 50~360 階地位係數，便完成 360 階之 OSU91A 大地位模式。



2-3-2 EGM96 地位模式

由美國國防部製圖局 (Nation Imagery and Mapping Agency)、美國太空總署 (NASA Goddard Space Flight Center) 和俄亥俄州立大學 (Ohio State University) 共同合作發展之 360 階地位模式。建構 EGM96 模式資料來源包括有 TOPEX/POSEIDON、ERS-1 和 GEOSAT 等衛星測高資料；超過 20 顆以上之 SLR、GPS、DORIS、TDRSS 和 TRANET 追蹤資料；以及最新地形改正資料和 30'×30' 的重力異常資料。計算成果除改進原有 OSU91 模式外和用來更新 WGS84 大地參考座標，亦可用於高精度軌道計算、海岸地貌及物理大地之研究。

OSU91A 及 EM96 地位模式問世已超過十年，在本論文研究用此二種模式純為模擬之用。論文中以 EGM96 為假設真值、OSU91A 為計算初值，利用平差迭代計算，最後透過大地起伏、重力異常等不同表現方式，期能求出精度較 OSU91A 更佳之估算地位模式。新的全球地位模式可由 CHAMP 及 GRACE 資料求得。

2-3-3 CHAMP 及 GRACE 相關重力模式

CHAMP (CHALLENGING Minisatellite Payload) 為德國發展的衛星任務，針對地球科學和大氣研究的應用，由 GFZ (GeoForschungsZentrum Potsdam Public Law Foundation) 機構管理 (GFZ,2004)。衛星在 2000 年 7 月 15 日升空，利用高對低 (high-low mode : GPS-CHAMP) 衛星追蹤 (Satellite to Satellite Tracking, SST) 資料來進行地球重力場的解算。CHAMP 目前最新重力位模式為 EIGEN，包括有 EIGEN-3p、EIGEN-2 與 EIGEN-1S 三種。EIGEN-1S 為使用 CHAMP 與 GPS 間共 88 天衛星追蹤資料 (2000 年 6 月 30 日 ~ 8 月 10 日與 9 月 24 日~12 月 31 日) 以及 Lageos-1,-2、Starlette、Stella 雷射追蹤資料 (2000 年) 的 119×111 重力位模式；EIGEN-2 為僅使用六個月 (2000 年 7 月~12 月以及 2001 年 9 月~12 月) 的 CHAMP GPS SST 及加速度儀資料計算得到的 140×140 重力位模式；EIGEN-3p 為 EIGEN-3 的先期模式，係利用 CHAMP GPS 共三年的 SST 資料 (2000 年 7 月~2003 年 6 月) 所得之 140×140 重力位模式，其與 EIGEN-2 不同處除了有 6 倍多的 CHAMP 觀測資料，在加速度儀的參數以及法方程式的調整上都有所不同。

GRACE (Gravity Recovery and Climate Experiment) 為美國 NASA 與德國 DLR 利用低對低 (low-low mode : GRACE-GRACE) 衛星追蹤技術的跨國共同合作。衛星在 2001 年 11 月升空，GRACE 在 CHAMP 的基礎上改進成雙星系統。GRACE 的重力模式 GGM01 為目前最新全球重力位模式，其包括二種：GGM01S、GGM01C。GGM01S 為 120×120 的重力位模式，是利用 GRACE 衛星 110 天 (2002

年 4 月～2002 年 11 月) 的 K 波段 (K-band) 距離變化率、高度以及加速度儀資料進行計算，不加 “Kaula” 條件約制、不使用其他衛星資料、也沒有地表重力資料的加入。而 GGM01C 重力位模式為 GGM01S 加入 TEG4 重力資料所產生，為一 200x200 重力位模式。

